

# 알카리토족 이온을 함유한 페로브스카이트형 산화물의 감습특성에 관한 연구

류재호\*0 이능현\*\* 강대하\*\*\* 한상우<sup>§</sup> 박경현\*\* 이더출\*  
\* 인하대 전기공 \*\* 경원대 전자공 \*\*\* 부산공업대 전기공 § 충남대 전기공  
\*\* 삼척산업대 전기공

## A Study on the Humidity Sensitive Characteristics of Perovskite-type Oxides Containing Alkaline Earth Ions

J.H. Yuk\*0 N.H. Lee\*\* D.H. Kang\*\*\* S.O. Han<sup>§</sup> K.H. Park\*\* D.C. Lee\*  
\* INHA UNIV. \*\* KYUNGWON UNIV. \*\*\* PUSAN INDUSTRIAL UNIV. § CHOONGNAM UNIV.  
\*\* SANCHEOK INDUSTRIAL UNIV.

### ABSTRACT

The microstructure and humidity sensitive characteristics of V<sub>2</sub>O<sub>5</sub> doped CaTiO<sub>3</sub> were studied. Sensing elements were prepared in bulk form. This element exhibits a porous structure.

The grain grows and electrical conductivity increases as doping amount of V<sub>2</sub>O<sub>5</sub> increases.

The change of impedance and capacitance under different r.h is remarkable, and the conduction carriers of this element were ions.

### 1. 서론

습도는 일상환경에서 가장 일반적으로 접하는 요소이기 때문에 습도에 대한 재이는 일상생활은 물론 모든 산업분야에서 가장 필수적인 요소로 대두되고 있다.

습도의 감지는 예로부터 모발이나 진습구 습도측정 등 물리적 수단이 널리 이용되었지만 최근 산업이 고도화되고 초정밀화가 요구되어 점에 따라 전기적 신호에 의해 습도를 감지하는 습도센서가 개발되었다.

습도센서에는 염화리튬과 같은 전해질계[1], 유기고분자의 친수성 및 펑윤성을 이용한 유기재료계[2,3] 그리고 수분의 흡착, 탈리현상을 이용한 세라믹스계[4,5,6]가 있다.

아직은 완벽한 성능의 습도센서는 개발되지 않고 있는 실정이지만 세라믹스계는 본질적으로 물리적, 화학적, 열적으로 안정하기 때문에 습도센서의 대부분을 차지하고 있다.

본 연구에서는 친수성이 강한 알카리토족 이온 Ca을 페로브스카이트형 산화물의 A site에 함유한 CaTiO<sub>3</sub>에 V<sub>2</sub>O<sub>5</sub>를 Ti 위치에 치환 고용합에 따른 감습특성에 대하여 연구하였다.

### 2. 실험

#### 2-1. 시편제작

각 시료 CaCO<sub>3</sub>, TiO<sub>2</sub>, V<sub>2</sub>O<sub>5</sub>를 에틸알콜을 분산매로 하여 20시간 불밀링하였다. 혼합, 분체된 시료를 100°C에서 2시간 건조시킨 후 850°C에서 2시간 하소하였다. 하소된 분말을 분체한 후 다시 중류수와 함께 12시간 불밀링을 하였다. 이때 불밀링 끝나기 1시간 전에 바인더(binder)를 첨가하였다. 그다음 200°C정도의 Hot plate에서 저으면서 건조시킨 후 시브(#170)를 통해 입도를 균일하게 하였다. 시편은 1 ton / cm<sup>2</sup>의 압력을 가해 디스크형으로 성형하였다. 소결은 1100°C에서 1시간 행하였으며 전극은 이온 스퍼터링에 의하여 Au 친공 증착하였다. 시편의 크기는 직경 7.5[mm], 두께 0.6[mm]로 하였다.

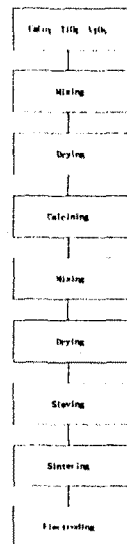


그림 1. 시편 제조 공정도  
Fig. 1. Process flow of the specimen

#### 4. 결론

$V_2O_5$ 를 첨가한  $CaTiO_3$ 의 감습특성에 대한 결과는 아래와 같다.

1.  $V_2O_5$ 의 첨가량이 증가함에 따라 소결 속진에 의해 그레인이 성장한다.
2.  $V_2O_5$ 의 첨가량이 증가함에 따라 도전성이 향상된다.
3. 상대습도의 변화에 대해 임피던스 및 커패시턴스의 변화가 현저한 우수한 감습도를 나타낸다.

#### 참고문헌

1. F.W.Dunmore, An improved electric hygrometer, J.Res.Nat.Bur.Stand., 23(1939) 701~714
2. P.E.Thomas, J.O.Colla and R.Stewart, A capacitance humidity-sensing transducer, IEEE Trans.CHMT-2(1979) 231~233
3. K.Otsuka, S.Kinoki and T.Ushi, Organic polymer humidity sensor, Denshi-Zairyo, 19(1980) 68~73
4. T.Nitta, Z.Terada and S.Hayakawa, Humidity-sensitive electrical conduction of  $MgCr_2O_4-TiO_2$  porous ceramics, J.Am.Ceram.Soc., 63(1980) 295~300
5. Y.C.Yeh, T.Y.Tseng, Electrical properties of  $TiO_2-K_2Ti_5O_13$  Porous Ceramic Humidity Sensor, J.Am.Ceram.Soc., 73[7]1992-98(1990)
6. N.Yamazoe, Humidity sensors: principles and applications, Sensors and Actuators, 10(1986) 379
7. J.H.Anderson, G.A.Parks, The electrical conductivity of silica gel in the presence of adsorbed water, J.Phys.Chem., 72 (1968) 3662~3668

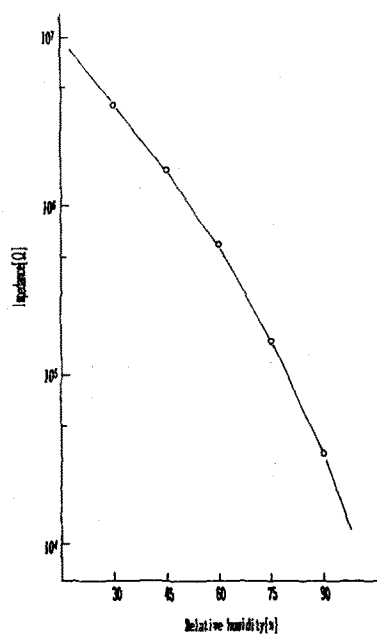


그림 3 상대습도-임피던스 특성  
Fig. 3 Characteristics of relative humidity-impedance

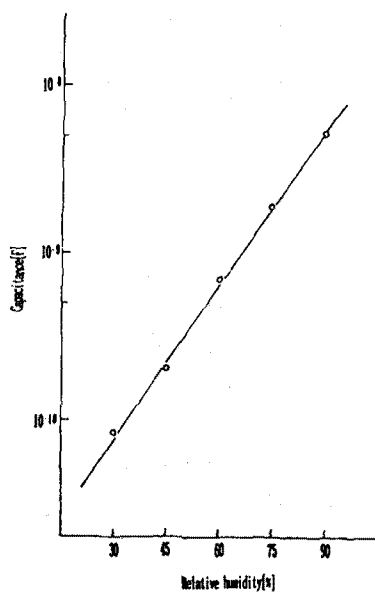


그림 4 상대습도-커패시턴스 특성  
Fig. 4 Characteristics of relative humidity-capacitance

## 2-2. 측정

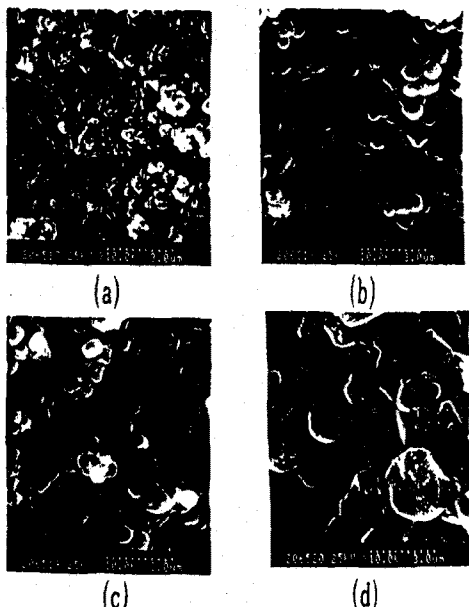
시편의 미세구조는 SEM을 이용하여 분석하였고 임피던스 및 커페시턴스 측정은 Impedance analyzer(HP4192A)를 이용하였다. 온습도분위기는 Thermostatic humidity generator (HC 7005, Heraeus Vötsch)를 사용하였다.

## 3. 결과 및 검토

### 3-1. 미세구조

$\text{CaTiO}_3$ 의 Ti 위치에  $\text{V}_2\text{O}_5$ 를 0%, 1%, 2%, 3%로 각각 첨가하였을 때의 시편의 미세구조변화를 사진 1의 a, b, c, d에 나타내었다. 이는 SEM 이용하여 분석하였다.

사진의 결과로부터 기공이 많은 다공질의 구조임을 알 수 있으며  $\text{V}_2\text{O}_5$ 의 첨가량이 증가함에 따라 그레이언이 성장함을 알 수 있다. 이는  $\text{V}_2\text{O}_5$ 에 의해 소결이 촉진된 결과로 해석할 수 있다.



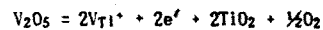
(a)  $\text{CaTiO}_3$  (b)  $\text{CaTiO}_3 + 1\text{mol}\%$   $\text{V}_2\text{O}_5$  (c)  $\text{CaTiO}_3 + 2\text{mol}\%$   $\text{V}_2\text{O}_5$   
(d)  $\text{CaTiO}_3 + 3\text{mol}\%$   $\text{V}_2\text{O}_5$

사진 1 시편의 미세구조

Pic. 1 Microstructure of specimen

### 3-2. 전기 전도성

$\text{CaTiO}_3$ 의 Ti 위치에  $\text{V}_2\text{O}_5$ 를 0%, 1%, 2%, 3%로 첨가하였을 때 도전성의 변화를 그림 2에 나타내었다. 결과로부터  $\text{V}_2\text{O}_5$ 의 첨가량이 증가하면서 임피던스가 감소, 즉 도전성이 향상되었는데 이는 아래 원자가 이론에 의해 해석할 수 있다.



즉  $\text{Ti}^{4+}$  위치에  $\text{V}^{5+}$ 가 치환고용됨에 따라 전도전자가 증가하는 결과로 해석할 수 있다.

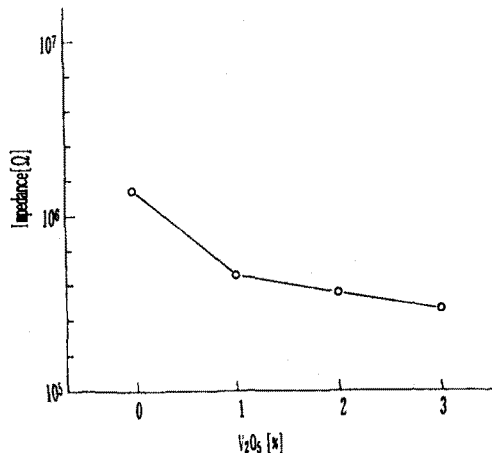


그림 2  $\text{V}_2\text{O}_5$  첨가량에 대한 전기 전도성의 변화

Fig. 2 Variation of electrical conductivity to  $\text{V}_2\text{O}_5$  doping amount

### 3-3. 감습특성

상대습도 변화에 대해 임피던스의 변화를 그림 3에 나타내었다. 이때 시편은  $\text{V}_2\text{O}_5$ 를 1mol% 첨가한 것을 사용하였다. 이때 측정은 온도 25°C, 주파수 1kHz에서 행하였다. 결과로부터 상대습도가 증가함에 따라 임피던스는 감소하였고 저습영역에서 고습영역까지  $10^3$  승 정도의 임피던스 변화폭을 나타내는 고감도의 특성을 나타낸다.

흡습에 따른 전기전도성의 변화는 Anderson과 Park에 의한 이온성 전도에 의해 규명할 수 있다.[7] 즉, 최초의 소량의 수증기는 입자의 넥트부(neck part)에 화학 흡착하여 수산기를 형성하게 된다. 그 다음 수증기는 수산기에 물리흡착하여 물의 다분자층을 형성하고 최후로 다량의 수증기가 존재하면 대량전극간에 연속적인 수분흡착에 의한 전해질층이 형성됨으로써 전기 전도가 증가하게 된다.

그림 4에는  $\text{V}_2\text{O}_5$ 를 1mol% 첨가한 시편의 상대습도 변화에 대한 커페시턴스의 변화를 나타내었다. 이때 측정은 온도 25°C, 주파수 60[Hz]에서 행하였다.

상대습도가 증가함에 따라 커페시턴스가 증가하는 것은 연속적인 수분흡착에 의한 물분자의 다중층 형성에 의한 결과로 사료된다.

이러한 유전율의 증가는 해리 에너지를 낮추어 해리를 증진시키고, 캐리어 농도를 증가시킨다. 따라서 이 결과는 흡습에 따른 전기전도의 변화가 이온전도에 의함을 나타내 준다.